

У дійсності на рух рідини будуть діяти як сила поверхневого натягу, так і сила в'язкості, залежності вигляду $H_K / \delta = f(V)$ по формулам (1.7) і (1.9) є асимптотичними, тобто $H_K / \delta = f(We, Re)$. Фактично величина H_K / δ буде залежати від V у ступені більшою за 1 та меншою за 2. Якщо врахувати, що швидкість на виході з насадка пов'язана з напором співвідношенням (1.1), то формулу (1.7) можна представити у вигляді

$$H_K = \text{const} \cdot \frac{\rho \cdot \delta}{\sigma} \cdot H_0, \quad (1.11)$$

а формулу (1.10) – у вигляді

$$H_K = \text{const} \cdot \frac{\rho \cdot \delta}{\mu} \cdot H_0^{1/2}, \quad (1.12)$$

Однак, одержати за цим способом теоретичну залежність з урахуванням одночасної дії сили поверхневого натягу і сили в'язкості на стійкість струменя на його межі «вода-повітря» не представляється можливим і необхідне використання експериментальних даних з урахуванням формул (1.11) і (1.12), що пропонується у вигляді

$$\frac{H_K}{\delta} = C_1 \cdot Re + C_2 \cdot We, \quad (1.13)$$

або у вигляді

$$\frac{H_K}{\delta} = C_3 \cdot \frac{\rho}{\mu} H_0^{1/2} + C_4 \cdot \frac{\rho}{\sigma} H_0, \quad (1.14)$$

де C_1, C_2, C_3, C_4 – коефіцієнти, що визначають внесок діючих сил.

ЛІТЕРАТУРА

1. Чугаев Р.Р. Гидравлика. – Л.: Энергоиздат. Ленингр. отд-ние, 1982. – 672 с.
2. Курганов А.М., Федоров Н.Ф. Справочник по гидравлическим расчетам. Л.: Стройиздат. Ленингр. отд-ние, 1978. С. 179-183.
3. Дендренко Ю.Ю. Радіальні водяні струмені-екрани для протипожежного захисту. Автореф. дис... канд. техн. наук: 05.23.16 / Харківський держ. техн. ун-т буд. та архіт. – Харків. 2004. - 20 с.

Ю. Ю. Дендренко, к. т. н., доц., О. Д. Блащук,
Черкаський інститут пожежної безпеки імені Героїв Чорнобиля НУЦЗ України,
Ю. М. Сенчихін, к. т. н., професор, К. М. Остапов,
Національний університет цивільного захисту України

УДОСКОНАЛЕННЯ КОНСТРУКЦІЇ НАСАДКА НА ПОЖЕЖНИЙ ЛАФЕТНИЙ СТВОЛ ДЛЯ СТВОРЕННЯ ПЛОСКОРАДІАЛЬНОГО ВОДЯНОГО СТРУМЕНЯ-ЕКРАНА

При розв'язанні задачі розпилення вогнегасної речовини (ВР) насадком ствола-розпилювача установок АУТГОС і АУТГОС-II, [1] було розглянуто проблему, яка певною мірою відповідає задачам конструктування насадків на пожежні лафетні стволи, а також на стволи-розпилювачі установок типу «Тайфун», «IFEX» та ін. У зв'язку з цим звертає на себе увагу той факт, що одним з них передбачене безперервне подавання ВР в осередок пожежі, а іншим – імпульсне. Розроблений авторами згідно Патенту на винахід № 80884 насадок складної конфігурації у конструктивному виконанні (рис. 1) цілком відповідає раніше розглянутій схемі (рис. 2).

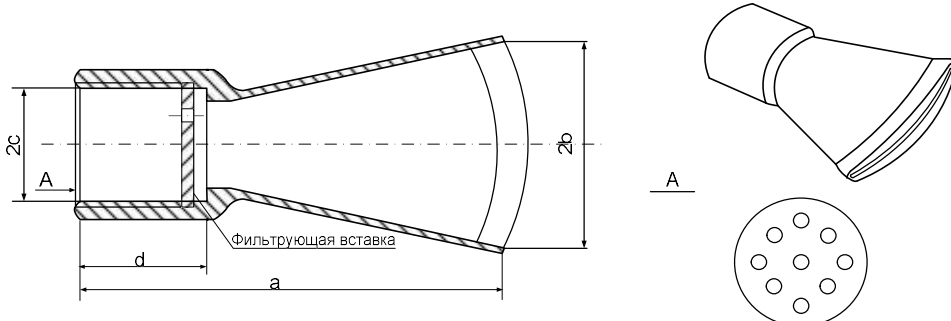


Рисунок 1. Насадок на пожежний лафетний ствол для створення

плоскорадіального водяного струменя-екрана.

Очевидна схожість схемних рішень (рис. 1; рис. 2) дозволяє математичну модель досліджень представити у класичному вигляді:

$$V_x \frac{\partial V_x}{\partial x} + V_y \frac{\partial V_x}{\partial y} + \frac{1}{\rho} \frac{\partial P}{\partial x} - \gamma \Delta V_x = 0, \quad (1)$$

$$V_x \frac{\partial V_y}{\partial x} + V_y \frac{\partial V_y}{\partial y} + \frac{1}{\rho} \frac{\partial P}{\partial y} - \gamma \Delta V_y = 0, \\ \frac{\partial V_x}{\partial x} + \frac{\partial V_y}{\partial y} = 0, \quad (2)$$

де (1) – рівняння Нав'є-Стокса [2], (2) – рівняння нерозривності руху потоку рідини, ρ – густина рідкої ВР, γ – кінематичний коефіцієнт в'язкості рідини.

Границі умови формулюються як умови прилипання часток рідини до твердої стінки (відсутність швидкості ковзання рідини по поверхні).

Віднімаючи (після диференціювання першого з рівняння (1) по y , а другого по x) з першого друге

$$\begin{cases} V_x \frac{\partial V_x}{\partial x} + V_y \frac{\partial V_x}{\partial y} + \frac{1}{\rho} \frac{\partial P}{\partial x} - \gamma \Delta V_x = 0; & \left| \frac{\partial}{\partial y} \right. \\ V_x \frac{\partial V_y}{\partial x} + V_y \frac{\partial V_y}{\partial y} + \frac{1}{\rho} \frac{\partial P}{\partial y} - \gamma \Delta V_y = 0; & \left| \frac{\partial}{\partial x} \right. \end{cases}$$

після виключення тиску P , маємо:

$$\frac{\partial V_x}{\partial y} \frac{\partial V_x}{\partial x} + V_x \frac{\partial^2 V_x}{\partial x \partial y} + \frac{\partial V_y}{\partial y} \frac{\partial V_x}{\partial y} + V_y \frac{\partial^2 V_x}{\partial y^2} - \gamma \frac{\partial}{\partial y} \Delta V_x - \\ - \frac{\partial V_x}{\partial x} \frac{\partial V_y}{\partial x} - V_x \frac{\partial^2 V_y}{\partial x^2} - \frac{\partial V_y}{\partial x} \frac{\partial V_y}{\partial y} - V_y \frac{\partial^2 V_y}{\partial x \partial y} + \gamma \frac{\partial}{\partial x} \Delta V_y = 0.$$

Після всіх перетворень вводимо функцію току $V_x = \frac{\partial \Psi}{\partial y}$; $V_y = -\frac{\partial \Psi}{\partial x}$ і тоді задовільняємо рівнянню (2).

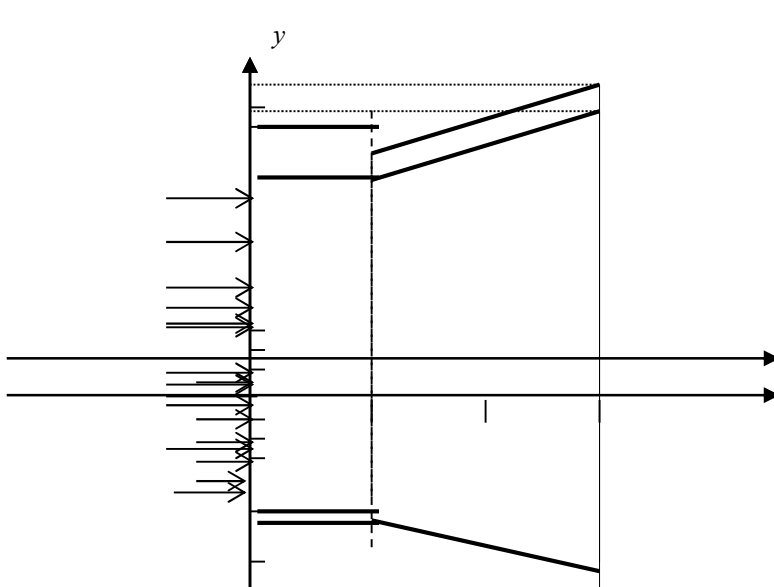


Рисунок 2. Схема проточної частини каналу насадка на пожежний лафетний ствол для створення плоскорадіального водяного струменя-екрана.

Очевидна схожість схемних рішень (рис. 1; рис. 2) дозволяє математичну модель дослідження представити у класичному вигляді:

$$V_x \frac{\partial V_x}{\partial x} + V_y \frac{\partial V_x}{\partial y} + \frac{1}{\rho} \frac{\partial P}{\partial x} - \gamma \Delta V_x = 0, \quad (1)$$

$$V_x \frac{\partial V_y}{\partial x} + V_y \frac{\partial V_y}{\partial y} + \frac{1}{\rho} \frac{\partial P}{\partial y} - \gamma \Delta V_y = 0, \\ \frac{\partial V_x}{\partial x} + \frac{\partial V_y}{\partial y} = 0, \quad (2)$$

де (1) – рівняння Нав'є-Стокса [2], (2) – рівняння нерозривності руху потоку рідини, ρ – густина рідкої ВР, γ – кінематичний коефіцієнт в'язкості рідини.

Границні умови формулюються як умови прилипання часток рідини до твердої стінки (відсутність швидкості ковзання рідини по поверхні).

Віднімаючи (після диференціювання першого з рівняння (1) по y , а другого по x) з першого друге

$$\begin{cases} V_x \frac{\partial V_x}{\partial x} + V_y \frac{\partial V_x}{\partial y} + \frac{1}{\rho} \frac{\partial P}{\partial x} - \gamma \Delta V_x = 0; & \left| \frac{\partial}{\partial y} \right. \\ V_x \frac{\partial V_y}{\partial x} + V_y \frac{\partial V_y}{\partial y} + \frac{1}{\rho} \frac{\partial P}{\partial y} - \gamma \Delta V_y = 0; & \left| \frac{\partial}{\partial x} \right. \end{cases}$$

після виключення тиску P , маємо:

$$\frac{\partial V_x}{\partial y} \frac{\partial V_x}{\partial x} + V_x \frac{\partial^2 V_x}{\partial x \partial y} + \frac{\partial V_y}{\partial y} \frac{\partial V_x}{\partial y} + V_y \frac{\partial^2 V_x}{\partial y^2} - \gamma \frac{\partial}{\partial y} \Delta V_x - \\ - \frac{\partial V_x}{\partial x} \frac{\partial V_y}{\partial x} - V_x \frac{\partial^2 V_y}{\partial x^2} - \frac{\partial V_y}{\partial x} \frac{\partial V_y}{\partial y} - V_y \frac{\partial^2 V_y}{\partial x \partial y} + \gamma \frac{\partial}{\partial x} \Delta V_y = 0.$$

Після всіх перетворень вводимо функцію току $V_x = \frac{\partial \Psi}{\partial y}$; $V_y = -\frac{\partial \Psi}{\partial x}$ і тутожно задовольняємо

рівнянню (2).

Остаточно в безрозмірній системі координат отримаємо нелінійне рівняння у похідних четвертого порядку, яке придатне для дослідження процесів перетворення води, яка надходить у насадок, у плоскорадіальний струмінь [3].

$$\frac{1}{Re} \Delta \Psi - \frac{\partial \Psi}{\partial y} \frac{\partial \Delta \Psi}{\partial x} + \frac{\partial \Psi}{\partial x} \frac{\partial \Delta \Psi}{\partial y} = 0 \quad (3)$$

де $Re = V / \gamma$ - число Рейнольдса.

ЛІТЕРАТУРА

- Аналіз процеса подачи и траектории потока струй огнетушащего вещества установкой АУТГОС / С.В. Росоха, Ю.Н. Сенчихин, А.А. Киреев, К.М. Остапов // Проблемы пожарной безопасности – Харків: НУЦЗУ, 2015. – Вип. 38. – С. 146-155.
- Лойцянський Л.Г. Механіка жидкості и газа. - М.: Наука, 1987. - 840 с.
- Дендаренко Ю.Ю., Сенчихін Ю.М., Сировий В.В., Росоха С.В. Рекомендації щодо застосування радіальних водяних струменів під час захисту вертикальних сталевих резервуарів від термічного впливу факела полум'я. - Збірник наукових праць. Науковий вісник будівництва / За загальною редакцією д-ра техн. наук Д.Ф. Гончаренко. – Харків: ХДТУБА, ХОТВ АБУ, 2013. – Вип. 71. – С. 554-558.